

# Les mathématiques à la rescousse de la physique quantique – et inversement

Nils Berglund

Institut Denis Poisson, Université d'Orléans  
CNRS, UMR 7013

<https://www.idpoisson.fr/berglund/>

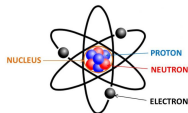
Diapos téléchargeables à l'adresse  
<https://www.idpoisson.fr/berglund/Blois19.pdf>

Lycée Dessaaignes, Blois, Décembre 2019

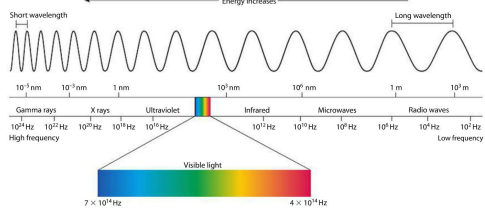
# La Physique à la fin du XIXe siècle

L'univers est constitué

de matière (formée d'atomes)



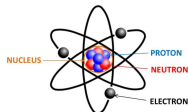
et d'ondes électromagnétiques



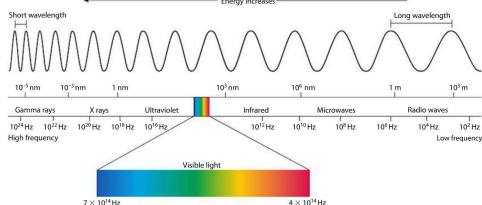
# La Physique à la fin du XIX<sup>e</sup> siècle

L'univers est constitué

de matière (formée d'atomes)

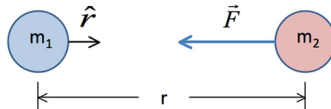


et d'ondes électromagnétiques



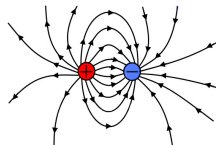
avec deux types d'interactions :

la gravitation



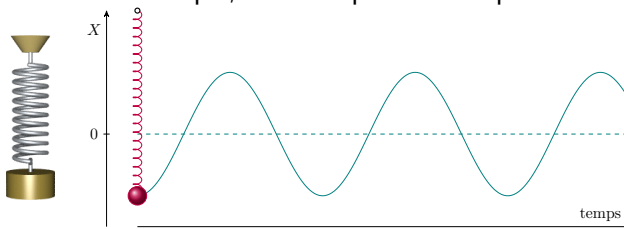
$$\vec{F} = -\frac{Gm_1m_2}{r^2} \hat{r}$$

et les forces électromagnétiques



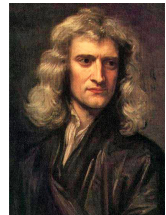
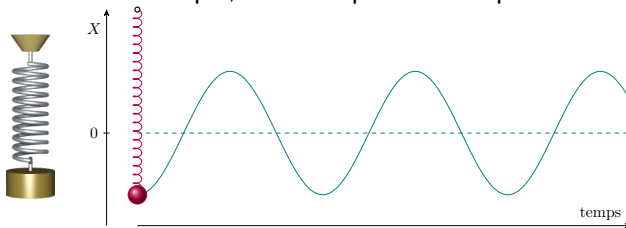
# Un exemple : l'oscillateur harmonique

L'oscillateur harmonique, c'est simplement un poids au bout d'un ressort :



# Un exemple : l'oscillateur harmonique

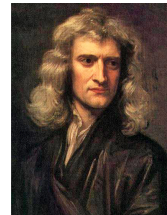
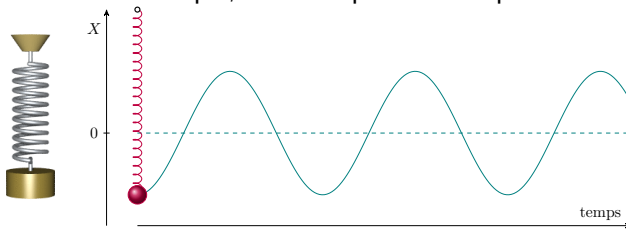
L'oscillateur harmonique, c'est simplement un poids au bout d'un ressort :



Seconde loi de **Newton** (1687) :  $m\vec{a} = \vec{F}$

# Un exemple : l'oscillateur harmonique

L'oscillateur harmonique, c'est simplement un poids au bout d'un ressort :

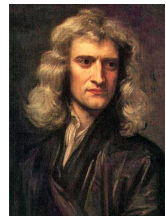
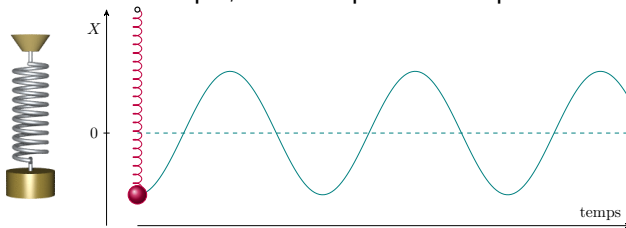


Seconde loi de **Newton** (1687) :  $m\vec{a} = \vec{F}$

Equation différentielle ordinaire (EDO) :  $mx''(t) = -kx(t)$

# Un exemple : l'oscillateur harmonique

L'oscillateur harmonique, c'est simplement un poids au bout d'un ressort :



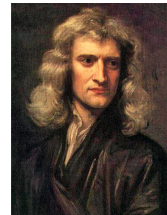
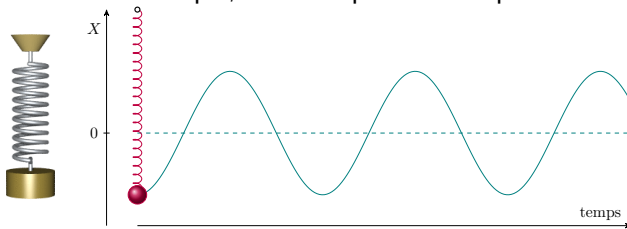
Seconde loi de Newton (1687) :  $m\vec{a} = \vec{F}$

Equation différentielle ordinaire (EDO) :  $mx''(t) = -kx(t)$

Solution :  $x(t) = x(0) \cos\left(\sqrt{\frac{k}{m}} t\right) + \sqrt{\frac{m}{k}} v(0) \sin\left(\sqrt{\frac{k}{m}} t\right)$

# Un exemple : l'oscillateur harmonique

L'oscillateur harmonique, c'est simplement un poids au bout d'un ressort :



Seconde loi de **Newton** (1687) :  $m\vec{a} = \vec{F}$

Equation différentielle ordinaire (EDO) :  $mx''(t) = -kx(t)$

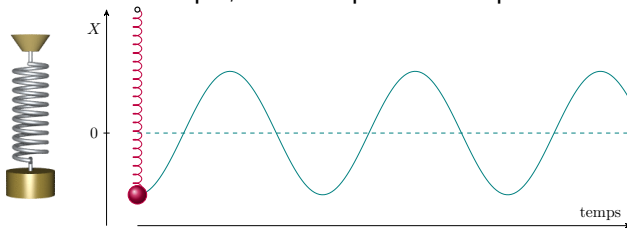
Solution :  $x(t) = x(0) \cos\left(\sqrt{\frac{k}{m}} t\right) + \sqrt{\frac{m}{k}} v(0) \sin\left(\sqrt{\frac{k}{m}} t\right)$

**Déterminisme** de **Laplace** (1814): l'état présent de l'univers détermine son état futur



# Un exemple : l'oscillateur harmonique

L'oscillateur harmonique, c'est simplement un poids au bout d'un ressort :



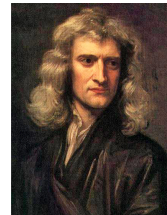
Seconde loi de **Newton** (1687) :  $m\vec{a} = \vec{F}$

Equation différentielle ordinaire (EDO) :  $mx''(t) = -kx(t)$

Solution :  $x(t) = x(0) \cos\left(\sqrt{\frac{k}{m}} t\right) + \sqrt{\frac{m}{k}} v(0) \sin\left(\sqrt{\frac{k}{m}} t\right)$

**Déterminisme** de **Laplace** (1814): l'état présent de l'univers détermine son état futur

⚠ Déterministe n'implique pas facile à calculer !  
(le mouvement peut être **chaotique**)

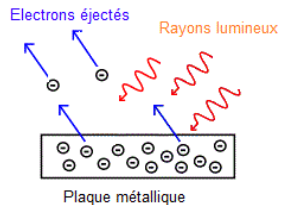


# Début du XXe siècle : nouveaux phénomènes

## L'effet photoélectrique

Nombre d'électrons émis  $\propto$  fréquence de la lumière

Einstein (1906) : Les ondes électromagnétiques sont composées de particules (les photons)

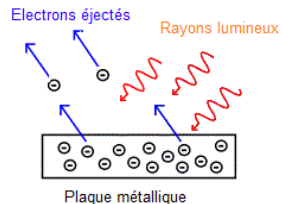


# Début du XXe siècle : nouveaux phénomènes

## L'effet photoélectrique

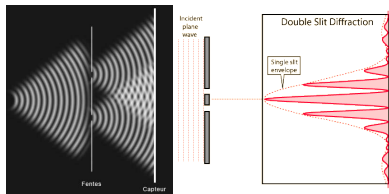
Nombre d'électrons émis  $\propto$  fréquence de la lumière

Einstein (1906) : Les ondes électromagnétiques sont composées de particules (les photons)



## Expérience des fentes de Young

Des particules envoyées sur deux fentes forment des franges d'interférences comme si c'était des ondes

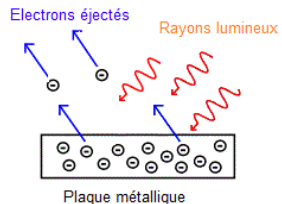


# Début du XXe siècle : nouveaux phénomènes

## L'effet photoélectrique

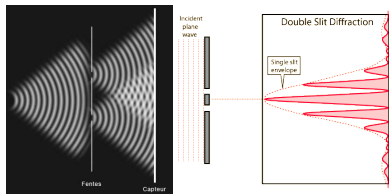
Nombre d'électrons émis  $\propto$  fréquence de la lumière

Einstein (1906) : Les ondes électromagnétiques sont composées de particules (les photons)



## Expérience des fentes de Young

Des particules envoyées sur deux fentes forment des franges d'interférences comme si c'était des ondes



## Nouvelles lois de la physique : la mécanique quantique

Équation de Newton  $\rightarrow$  Équation de Schrödinger

Des nouveaux types d'interactions et de particules...

# L'oscillateur harmonique quantique

Equation de Schrödinger (1925)

$|\psi(t, x)|^2 \sim$  proba d'être en  $x$  au temps  $t$

$$i\hbar \frac{\partial \psi}{\partial t}(t, x) = \underbrace{\left[ -\frac{\hbar^2}{2m} \frac{\partial^2}{\partial x^2} + \frac{1}{2} k^2 x^2 \right]}_{H = \text{énergie de l'oscillateur}} \psi(t, x)$$



# L'oscillateur harmonique quantique

Equation de Schrödinger (1925)

$|\psi(t, x)|^2 \sim$  proba d'être en  $x$  au temps  $t$

$$i\hbar \frac{\partial \psi}{\partial t}(t, x) = \underbrace{\left[ -\frac{\hbar^2}{2m} \frac{\partial^2}{\partial x^2} + \frac{1}{2} k^2 x^2 \right]}_{H = \text{énergie de l'oscillateur}} \psi(t, x)$$

$\hbar = 1,055 \cdot 10^{-34}$  Joule · sec constante de Planck



# L'oscillateur harmonique quantique

Equation de Schrödinger (1925)

$|\psi(t, x)|^2 \sim$  proba d'être en  $x$  au temps  $t$

$$i\hbar \frac{\partial \psi}{\partial t}(t, x) = \underbrace{\left[ -\frac{\hbar^2}{2m} \frac{\partial^2}{\partial x^2} + \frac{1}{2} k^2 x^2 \right]}_{H = \text{énergie de l'oscillateur}} \psi(t, x)$$

$\hbar = 1,055 \cdot 10^{-34}$  Joule · sec constante de Planck



C'est une équation aux dérivées partielles (EDP)

# L'oscillateur harmonique quantique

Equation de Schrödinger (1925)

$|\psi(t, x)|^2 \sim$  proba d'être en  $x$  au temps  $t$

$$i\hbar \frac{\partial \psi}{\partial t}(t, x) = \underbrace{\left[ -\frac{\hbar^2}{2m} \frac{\partial^2}{\partial x^2} + \frac{1}{2} k^2 x^2 \right]}_H \psi(t, x)$$

$H =$  énergie de l'oscillateur

$\hbar = 1,055 \cdot 10^{-34}$  Joule · sec constante de Planck



C'est une équation aux dérivées partielles (EDP)

On considère d'abord l'équation aux valeurs propres

$$H\psi_n(x) = E_n\psi_n(x)$$

qui a des solutions (bornées) si  $E_n = \hbar\sqrt{\frac{k}{m}(n + \frac{1}{2})}$

# L'oscillateur harmonique quantique

Equation de Schrödinger (1925)

$|\psi(t, x)|^2 \sim$  proba d'être en  $x$  au temps  $t$

$$i\hbar \frac{\partial \psi}{\partial t}(t, x) = \underbrace{\left[ -\frac{\hbar^2}{2m} \frac{\partial^2}{\partial x^2} + \frac{1}{2} k^2 x^2 \right]}_H \psi(t, x)$$

$H =$  énergie de l'oscillateur

$\hbar = 1,055 \cdot 10^{-34}$  Joule · sec constante de Planck

C'est une équation aux dérivées partielles (EDP)

On considère d'abord l'équation aux valeurs propres

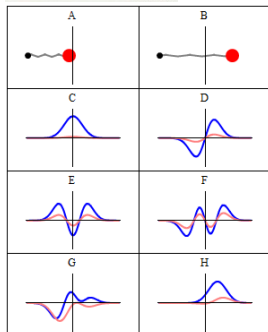
$$H\psi_n(x) = E_n\psi_n(x)$$

qui a des solutions (bornées) si  $E_n = \hbar\sqrt{\frac{k}{m}(n + \frac{1}{2})}$

La solution générale s'écrit

$$\psi(t, x) = c_0(t)\psi_0(x) + c_1(t)\psi_1(x) + \dots$$

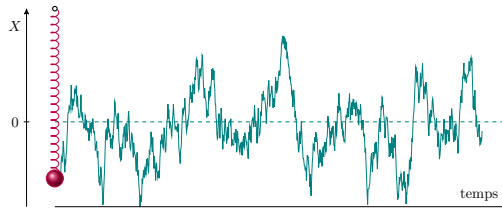
avec les  $c_n(t)$  oscillant à fréquence  $E_n/\hbar$



Source : Wikipedia

# Analogie avec la physique statistique

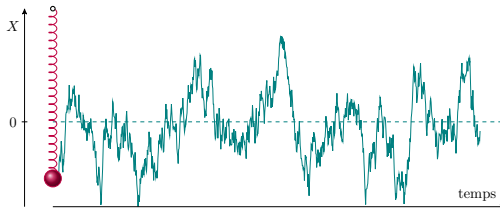
$\psi_0(x)$  décrit aussi un oscillateur classique, plongé dans un fluide chauffé



Equa. diff. stochastique (EDS)  $x'(t) = -kx(t) + \sqrt{k_B T} \xi$  où  $\xi$  : «bruit»

# Analogie avec la physique statistique

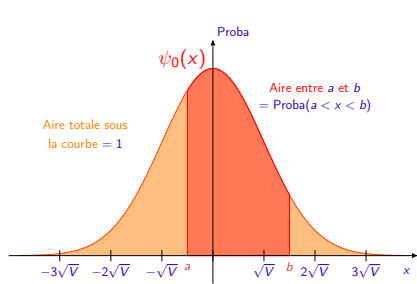
$\psi_0(x)$  décrit aussi un oscillateur classique, plongé dans un fluide chauffé



Equa. diff. stochastique (EDS)  $x'(t) = -kx(t) + \sqrt{k_B T} \xi$  où  $\xi$  : «bruit»

## Principe de Boltzmann–Gibbs

À l'équilibre à température  $T$  (mesurée en degrés Kelvin),  $x$  suit une distribution normale de moyenne 0 et variance  $V = \frac{k_B T}{k}$  où  $k_B = 1,3806 \times 10^{-23}$  Joules/Kelvin est la constante de Boltzmann.



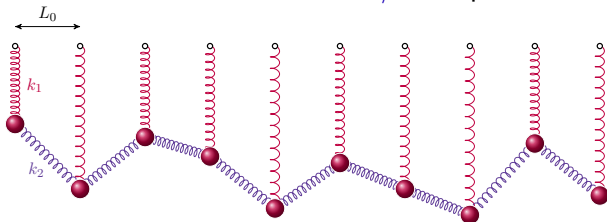
# Et pour un champ électromagnétique (EM) ?

Un champ EM *classique* est décrit par des EDP, les équations de Maxwell

# Et pour un champ électromagnétique (EM) ?

Un champ EM *classique* est décrit par des EDP, les équations de Maxwell

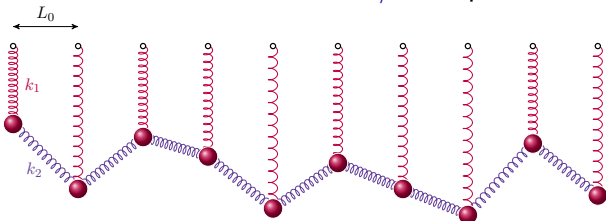
On le voit comme  $N$  oscillateurs de masse  $1/N$  couplés avec  $N \rightarrow \infty$



# Et pour un champ électromagnétique (EM) ?

Un champ EM *classique* est décrit par des EDP, les équations de Maxwell

On le voit comme  $N$  oscillateurs de masse  $1/N$  couplés avec  $N \rightarrow \infty$

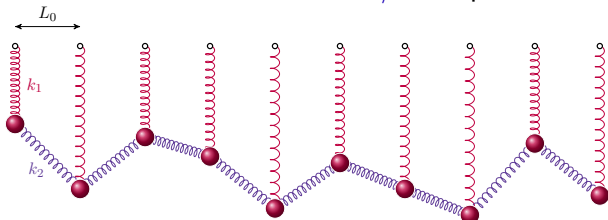


Énergie : somme de termes  $\frac{1}{2N}v_n^2 + \frac{k_1}{2}x_n^2 + \frac{k_2}{2}(x_{n+1} - x_n)^2$

# Et pour un champ électromagnétique (EM) ?

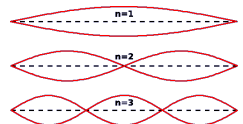
Un champ EM *classique* est décrit par des EDP, les équations de Maxwell

On le voit comme  $N$  oscillateurs de masse  $1/N$  couplés avec  $N \rightarrow \infty$



Énergie : somme de termes  $\frac{1}{2N}v_n^2 + \frac{k_1}{2}x_n^2 + \frac{k_2}{2}(x_{n+1} - x_n)^2$

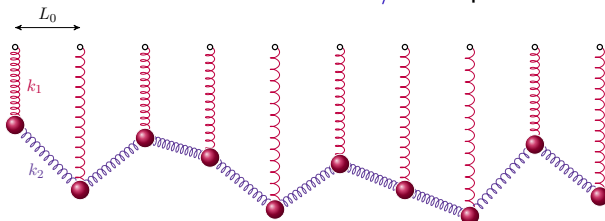
Les solutions se décomposent en modes de vibration périodiques, comme dans un instrument de musique (flûte, piano)



# Et pour un champ électromagnétique (EM) ?

Un champ EM *classique* est décrit par des EDP, les équations de Maxwell

On le voit comme  $N$  oscillateurs de masse  $1/N$  couplés avec  $N \rightarrow \infty$

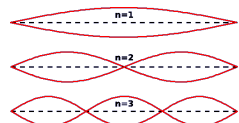


Énergie : somme de termes  $\frac{1}{2N}v_n^2 + \frac{k_1}{2}x_n^2 + \frac{k_2}{2}(x_{n+1} - x_n)^2$

Les solutions se décomposent en modes de vibration périodiques, comme dans un instrument de musique (flûte, piano)

## Electrodynamique Quantique (QED) :

On applique l'équation de Schrödinger avec cette énergie, puis on fait tendre  $N$  vers l'infini. Chaque mode devient un oscillateur harmonique, dont l'état d'énergie  $E_n$  s'interprète comme représentant  $n$  photons



# Électrons et photons en interaction

Énergie:  $E = E_{\text{électrons}} + E_{\text{photons}} + \gamma E_{\text{interaction}}$

# Électrons et photons en interaction

Énergie:  $E = E_{\text{électrons}} + E_{\text{photons}} + \gamma E_{\text{interaction}}$

- ▷ **Problème 1** : équations trop difficiles pour les résoudre

# Électrons et photons en interaction

Énergie:  $E = E_{\text{électrons}} + E_{\text{photons}} + \gamma E_{\text{interaction}}$

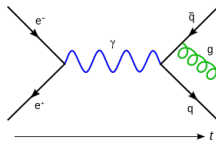
- ▷ **Problème 1** : équations trop difficiles pour les résoudre  
⇒ On cherche de **développements limités** de la solution :  
 $\psi = \psi_0 + \gamma\psi_1 + \gamma^2\psi_2 + \dots$

# Électrons et photons en interaction

Énergie:  $E = E_{\text{électrons}} + E_{\text{photons}} + \gamma E_{\text{interaction}}$

- ▷ **Problème 1** : équations trop difficiles pour les résoudre  
⇒ On cherche de **développements limités** de la solution :  
 $\psi = \psi_0 + \gamma\psi_1 + \gamma^2\psi_2 + \dots$

Représentation graphique :  
Diagrammes de **Feynman**  
(1948)

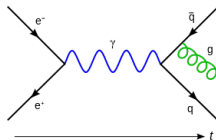


# Électrons et photons en interaction

Énergie:  $E = E_{\text{électrons}} + E_{\text{photons}} + \gamma E_{\text{interaction}}$

- ▷ **Problème 1** : équations trop difficiles pour les résoudre  
⇒ On cherche de **développements limités** de la solution :  
 $\psi = \psi_0 + \gamma\psi_1 + \gamma^2\psi_2 + \dots$

Représentation graphique :  
Diagrammes de **Feynman**  
(1948)



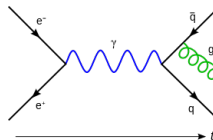
- ▷ **Problème 2** : Certains diagrammes ont une valeur infinie !

# Électrons et photons en interaction

Énergie:  $E = E_{\text{électrons}} + E_{\text{photons}} + \gamma E_{\text{interaction}}$

- ▷ **Problème 1** : équations trop difficiles pour les résoudre  
⇒ On cherche de **développements limités** de la solution :  
 $\psi = \psi_0 + \gamma\psi_1 + \gamma^2\psi_2 + \dots$

Représentation graphique :  
Diagrammes de **Feynman**  
(1948)



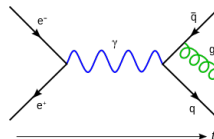
- ▷ **Problème 2** : Certains diagrammes ont une valeur infinie !  
⇒ **Renormalisation** : On modifie l'énergie du système à  $N$  ressorts en ajoutant des termes dépendant de  $N$  (et qui tendent vers l'infini)

# Électrons et photons en interaction

Énergie:  $E = E_{\text{électrons}} + E_{\text{photons}} + \gamma E_{\text{interaction}}$

- ▷ **Problème 1** : équations trop difficiles pour les résoudre  
⇒ On cherche de **développements limités** de la solution :  
 $\psi = \psi_0 + \gamma\psi_1 + \gamma^2\psi_2 + \dots$

Représentation graphique :  
Diagrammes de **Feynman**  
(1948)



- ▷ **Problème 2** : Certains diagrammes ont une valeur infinie !  
⇒ **Renormalisation** : On modifie l'énergie du système à **N** ressorts en ajoutant des termes dépendant de **N** (et qui tendent vers l'infini)  
Interprétation : on modifie la charge et la masse de l'électron. Les valeurs mesurées tiennent compte de l'interaction avec les photons, et sont différentes de celles de l'électron isolé

## Succès et échecs de la QED

- ▷ La théorie perturbative (développements limités en  $\gamma$ ) prédit des résultats très proches des valeurs mesurées  
Exemple : moment magnétique anomal de l'électron, prédit correctement à 10 décimales

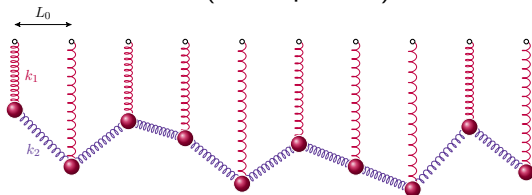
## Succès et échecs de la QED

- ▷ La théorie perturbative (développements limités en  $\gamma$ ) prédit des résultats très proches des valeurs mesurées  
Exemple : moment magnétique anomal de l'électron, prédit correctement à 10 décimales
- ▷ Mais impossible de donner un sens mathématique à ces développements !

# Succès et échecs de la QED

- ▷ La théorie perturbative (développements limités en  $\gamma$ ) prédit des résultats très proches des valeurs mesurées  
Exemple : moment magnétique anomal de l'électron, prédit correctement à 10 décimales
- ▷ Mais impossible de donner un sens mathématique à ces développements !

Modèle simplifié : le modèle  $\Phi^4$  («Phi-quatre»)

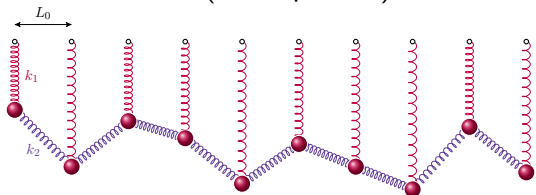


$$\text{Énergie de la masse } n : \underbrace{\frac{1}{2N}v_n^2 + \frac{k_1}{2}x_n^2 + \frac{k_2}{2}(x_{n+1} - x_n)^2}_{\text{photons}} + \underbrace{\frac{\gamma}{N}x_n^4}_{\text{interaction}}$$

# Succès et échecs de la QED

- ▷ La théorie perturbative (développements limités en  $\gamma$ ) prédit des résultats très proches des valeurs mesurées  
Exemple : moment magnétique anomal de l'électron, prédit correctement à 10 décimales
- ▷ Mais impossible de donner un sens mathématique à ces développements !

Modèle simplifié : le modèle  $\Phi^4$  («Phi-quatre»)



$$\text{Énergie de la masse } n : \underbrace{\frac{1}{2N}v_n^2 + \frac{k_1}{2}x_n^2 + \frac{k_2}{2}(x_{n+1} - x_n)^2}_{\text{photons}} + \underbrace{\frac{\gamma}{N}x_n^4}_{\text{interaction}}$$

Plusieurs travaux des années 1960–1980 arrivent à prouver que ce modèle est bien défini, mais les preuves sont extrêmement compliquées

# Quantification et EDP stochastiques

Observation : l'état fondamental est aussi l'équilibre de l'EDP stochastique

$$\frac{\partial}{\partial t} \phi(t, x) = \frac{\partial^2}{\partial x^2} \phi(t, x) - m\phi(t, x) - \gamma\phi(t, x)^3 + \underbrace{\xi(t, x)}_{\text{bruit espace-temps}}$$

# Quantification et EDP stochastiques

Observation : l'état fondamental est aussi l'équilibre de l'EDP stochastique

$$\frac{\partial}{\partial t} \phi(t, x) = \frac{\partial^2}{\partial x^2} \phi(t, x) - m\phi(t, x) - \gamma\phi(t, x)^3 + \underbrace{\xi(t, x)}_{\text{bruit espace-temps}}$$

On sait montrer l'existence de solutions (depuis 1982), et les étudier

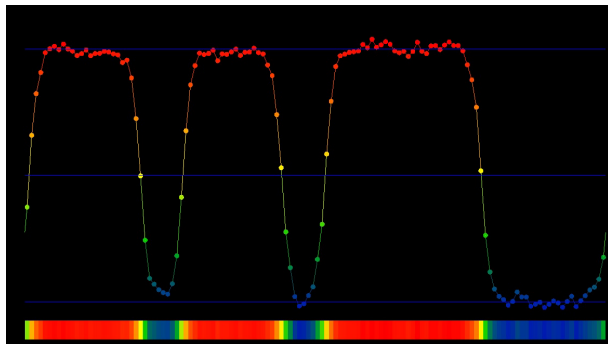
# Quantification et EDP stochastiques

Observation : l'état fondamental est aussi l'équilibre de l'EDP stochastique

$$\frac{\partial}{\partial t} \phi(t, x) = \frac{\partial^2}{\partial x^2} \phi(t, x) - m\phi(t, x) - \gamma\phi(t, x)^3 + \underbrace{\xi(t, x)}_{\text{bruit espace-temps}}$$

On sait montrer l'existence de solutions (depuis 1982), et les étudier

Simulation (pour  $m = -1$ ) :



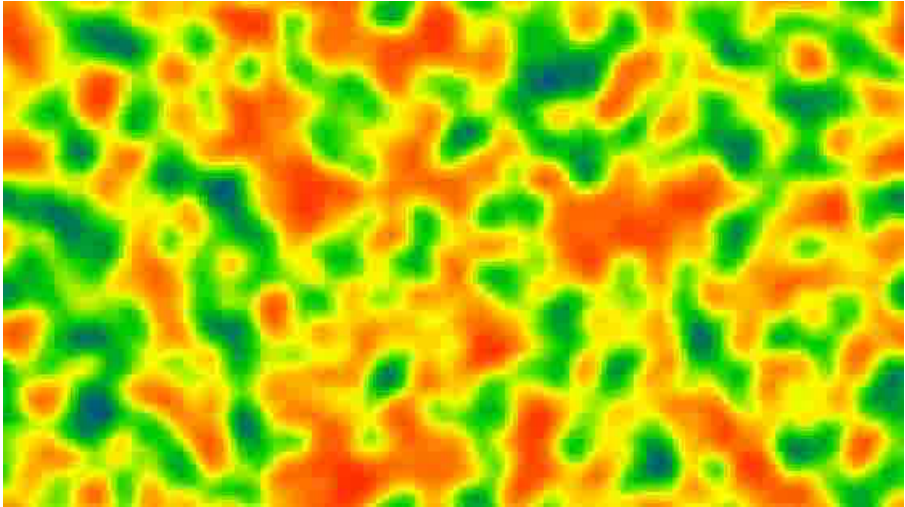
## Le modèle $\Phi^4$ en dimension 2

Mais notre univers a 3 dimensions (4 en comptant le temps).

## Le modèle $\Phi^4$ en dimension 2

Mais notre univers a 3 dimensions (4 en comptant le temps).

Regardons déjà la dimension 2 :



(Sur YouTube : <http://tinyurl.com/q43b61f>)

## EDP stochastiques (EDPS) singulières

En 2003, Giuseppe Da Prato et Arnaud Debussche montrent que l'EDPS  $\Phi^4$  en dimension 2, correctement renormalisée, admet des solutions

$$\frac{\partial}{\partial t}\phi(t, x, y) = \frac{\partial^2}{\partial x^2}\phi + \frac{\partial^2}{\partial y^2}\phi - m\phi - \gamma\phi^3 + 3C_N\phi + \xi_N$$

$\xi_N$  constant sur des carrés de côté  $1/N$ ,  $C_N \sim \ln(N)$  et  $N \rightarrow \infty$

# EDP stochastiques (EDPS) singulières

En 2003, Giuseppe Da Prato et Arnaud Debussche montrent que l'EDPS  $\Phi^4$  en dimension 2, correctement renormalisée, admet des solutions

$$\frac{\partial}{\partial t} \phi(t, x, y) = \frac{\partial^2}{\partial x^2} \phi + \frac{\partial^2}{\partial y^2} \phi - m\phi - \gamma\phi^3 + 3C_N\phi + \xi_N$$

$\xi_N$  constant sur des carrés de côté  $1/N$ ,  $C_N \sim \ln(N)$  et  $N \rightarrow \infty$

En 2013, Martin Hairer met au point une nouvelle théorie, les **structures de régularité**, qui permet de traiter le cas de la dimension 3



# EDP stochastiques (EDPS) singulières

En 2003, Giuseppe Da Prato et Arnaud Debussche montrent que l'EDPS  $\Phi^4$  en dimension 2, correctement renormalisée, admet des solutions

$$\frac{\partial}{\partial t} \phi(t, x, y) = \frac{\partial^2}{\partial x^2} \phi + \frac{\partial^2}{\partial y^2} \phi - m\phi - \gamma\phi^3 + 3C_N\phi + \xi_N$$

$\xi_N$  constant sur des carrés de côté  $1/N$ ,  $C_N \sim \ln(N)$  et  $N \rightarrow \infty$

En 2013, Martin Hairer met au point une nouvelle théorie, les **structures de régularité**, qui permet de traiter le cas de la dimension 3

Sa théorie utilise les idées des physiciens (**diagrammes de Feynman, renormalisation**), mais parvient à les rendre mathématiquement rigoureuses



# EDP stochastiques (EDPS) singulières

En 2003, Giuseppe Da Prato et Arnaud Debussche montrent que l'EDPS  $\Phi^4$  en dimension 2, correctement renormalisée, admet des solutions

$$\frac{\partial}{\partial t} \phi(t, x, y) = \frac{\partial^2}{\partial x^2} \phi + \frac{\partial^2}{\partial y^2} \phi - m\phi - \gamma\phi^3 + 3C_N\phi + \xi_N$$

$\xi_N$  constant sur des carrés de côté  $1/N$ ,  $C_N \sim \ln(N)$  et  $N \rightarrow \infty$

En 2013, Martin Hairer met au point une nouvelle théorie, les **structures de régularité**, qui permet de traiter le cas de la dimension 3

Sa théorie utilise les idées des physiciens (**diagrammes de Feynman, renormalisation**), mais parvient à les rendre mathématiquement rigoureuses. Cette théorie s'applique aussi à beaucoup d'autres EDPS. Elle lui vaut la **Médaille Fields** en 2014



# EDP stochastiques (EDPS) singulières

En 2003, Giuseppe Da Prato et Arnaud Debussche montrent que l'EDPS  $\Phi^4$  en dimension 2, correctement renormalisée, admet des solutions

$$\frac{\partial}{\partial t}\phi(t, x, y) = \frac{\partial^2}{\partial x^2}\phi + \frac{\partial^2}{\partial y^2}\phi - m\phi - \gamma\phi^3 + 3C_N\phi + \xi_N$$

$\xi_N$  constant sur des carrés de côté  $1/N$ ,  $C_N \sim \ln(N)$  et  $N \rightarrow \infty$

En 2013, Martin Hairer met au point une nouvelle théorie, les **structures de régularité**, qui permet de traiter le cas de la dimension 3

Sa théorie utilise les idées des physiciens (**diagrammes de Feynman, renormalisation**), mais parvient à les rendre mathématiquement rigoureuses

Cette théorie s'applique aussi à beaucoup d'autres EDPS. Elle lui vaut la **Médaille Fields** en 2014

En dimension 4, on ne sait toujours pas traiter le modèle  $\Phi^4$ . On s'attend à ce qu'il n'ait pas de solutions intéressantes



# L'équation KPZ

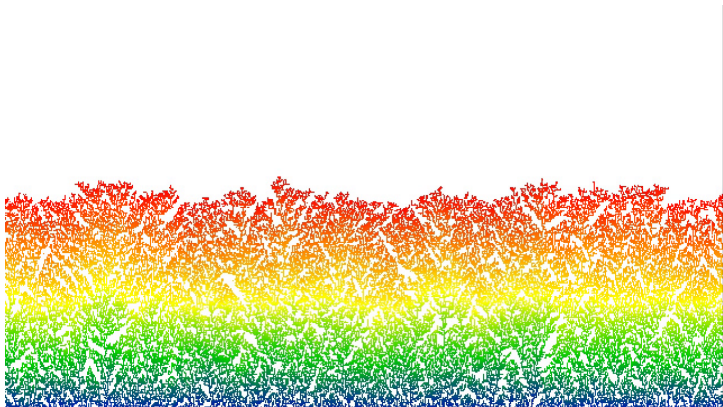
Introduite par Kardar, Parisi et Zhang (1986) : croissance d'une interface

$$\frac{\partial}{\partial t} h(t, x) = \frac{\partial^2}{\partial x^2} h(t, x) + \left( \frac{\partial h}{\partial x}(t, x) \right)^2 + \xi(t, x)$$

# L'équation KPZ

Introduite par Kardar, Parisi et Zhang (1986) : croissance d'une interface

$$\frac{\partial}{\partial t} h(t, x) = \frac{\partial^2}{\partial x^2} h(t, x) + \left( \frac{\partial h}{\partial x}(t, x) \right)^2 + \xi(t, x)$$



[Lien vers la vidéo](#)

# Un modèle de neurosciences (FitzHugh–Nagumo)

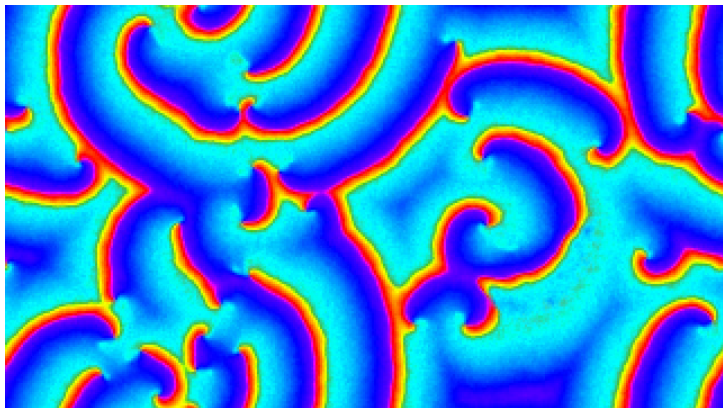
$$\frac{\partial}{\partial t}u = \frac{\partial^2}{\partial x^2}u + \frac{\partial^2}{\partial y^2}u + u + v - u^3 + 3C_N\phi + \xi_N \quad \text{potentiel membrane}$$

$$\frac{\partial}{\partial t}v = au + bv \quad \text{conductance}$$

# Un modèle de neurosciences (FitzHugh–Nagumo)

$$\frac{\partial}{\partial t} u = \frac{\partial^2}{\partial x^2} u + \frac{\partial^2}{\partial y^2} u + u + v - u^3 + 3C_N \phi + \xi_N \quad \text{potentiel membrane}$$

$$\frac{\partial}{\partial t} v = au + bv \quad \text{conductance}$$



[Lien vers la vidéo](#)

# Où sont les femmes ?

# Où sont les femmes ?

Physique mathématique  
et mécanique quantique



Sylvia Serfaty



Nalini Anantharaman

EDP stochastiques



Annie Millet



Anne de Bouard



Sandra Cerrai



Martina Hofmanova



Lisa Beck



Eulalia Nualart

# Pour en savoir plus

- ▷ Articles dans Images des mathématiques :

<https://images.math.cnrs.fr/>

<http://images.math.cnrs.fr/Les-diagrammes-de-Feynman-1.html>

<http://images.math.cnrs.fr/Qu-est-ce-qu-une-Equation-aux.html>

[https:](https://images.math.cnrs.fr/Resoudre-des-equations-en-comptant-des-arbres.html)

[//images.math.cnrs.fr/Resoudre-des-equations-en-comptant-des-arbres.html](https://images.math.cnrs.fr/Resoudre-des-equations-en-comptant-des-arbres.html)

- ▷ Quand les maths prennent formes, Dossier Pour la Science no 91, 2016 :

[https:](https://www.pourlascience.fr/sd/mathematiques/dossier-pour-la-science-91-751.php)

[//www.pourlascience.fr/sd/mathematiques/dossier-pour-la-science-91-751.php](https://www.pourlascience.fr/sd/mathematiques/dossier-pour-la-science-91-751.php)

- ▷ Sur YouTube :

<http://tinyurl.com/q43b61f>

- ▷ Cette présentation :

<https://www.idpoisson.fr/berglund/Blois19.pdf>